

01;03

## Фотофорез нагретых крупных аэрозольных частиц сферической формы

© Н.В. Малай, А.В. Лиманская, Е.Р. Шукин, А.А. Стукалов

Белгородский государственный национальный исследовательский университет,  
308007 Белгород, Россия  
e-mail: malay@bsuedu.ru, limanskayaanna@mail.ru

(Поступило в Редакцию 31 мая 2011 г. В окончательной редакции 6 декабря 2011 г.)

В приближении Стокса проведено теоретическое описание стационарного движения крупной твердой аэрозольной частицы сферической формы, на которую падает мощное электромагнитное излучение, в газе. При рассмотрении движения предполагалось, что средняя температура поверхности частицы может значительно отличаться от температуры окружающей ее газообразной среды. В процессе решения газодинамических уравнений получены аналитические выражения для силы и скорости фотофореза с учетом зависимостей плотности, вязкости газообразной среды и теплопроводности от температуры.

### Введение

Явление фотофореза в газе заключается в движении аэрозольных частиц в поле электромагнитного излучения под действием радиометрической силы. Фотофорез может играть существенную роль в атмосферных процессах [1–3]; очистке промышленных газов от аэрозольных частиц, создании установок, предназначенных для селективного разделения частиц по размерам, и т.д. Механизм фотофореза можно кратко описать следующим образом. При взаимодействии электромагнитного излучения с частицей внутри нее происходит выделение тепловой энергии с некоторой объемной плотностью  $q_p$ , которая неоднородно нагревает частицу. Молекулы газа, окружающие частицу, после соударения с ее поверхностью отражаются от нагретой стороны частицы с большей скоростью, чем от холодной. В результате частица приобретает нескомпенсированный импульс, направленный от горячей стороны частицы к холодной. В зависимости от размеров и оптических свойств материала частицы более горячей сможет оказаться как освещенная, так и теневая сторона частицы. Поэтому имеет место как положительный (движение частицы в направлении излучения), так и отрицательный фотофорез. Кроме того, если поток излучения неоднороден по сечению, то может возникнуть поперечное относительно направления распространения электромагнитного излучения движение частицы в газе [4].

В опубликованных до настоящего времени работах по теории фотофореза это явление изучалось при малых относительных перепадах температуры [4–7], т.е. когда выполняется неравенство  $(T_{ps} - T_{g\infty})/T_{g\infty} \ll 1$ , где  $T_{ps}$  — средняя температура поверхности частицы,  $T_{g\infty}$  — температура газообразной среды вдали от нее. При значительных относительных перепадах температуры, т.е. когда  $(T_{ps} - T_{g\infty})/T_{g\infty} \approx 0(1)$ , это явление изучено недостаточно. Индексы „g“ и „p“ здесь и далее относятся к газу и частице соответственно, индексом „S“ обозначены значения физических величин, взятых при

средней температуре поверхности частицы, индексом „∞“ — физические величины, характеризующие газообразную среду в невозмущенном потоке.

Если средняя температура поверхности частицы существенно по величине отличается от температуры окружающей газообразной среды, то здесь мы сталкиваемся с серьезной проблемой. При решении уравнений газовой динамики необходимо учитывать зависимость коэффициентов молекулярного переноса (вязкости, теплопроводности) и плотности газообразной среды от температуры, т.е. система газодинамических уравнений ставится существенно нелинейной. В связи с этим в литературе имеется мало работ, посвященных исследованию движения частиц при больших перепадах температуры [8–10]. Следует отметить, что решения дифференциальных уравнений, описывающих поля скорости и давления в работе [9], искались в виде степенных рядов методом понижения порядка, что привело к довольно громоздким окончательным выражениям и сложным в практическом применении. В настоящей работе решения уравнений газовой динамики находятся непосредственно в виде обобщенных степенных рядов, что позволяет представить выражения для силы и скорости фотофореза в компактной форме и существенно упростить численные расчеты для практических приложений.

### Постановка задачи

Рассмотрим твердую неоднородную нагретую аэрозольную частицу сферической формы радиуса  $R$ , взвешенную в газе с температурой  $T_g$ , плотностью  $\rho_g$ , теплопроводностью  $\lambda_g$  и вязкостью  $\mu_g$ . Под нагретой частицей понимаем частицу, средняя температура поверхности которой существенно отличается от температуры газообразной среды вдали от нее. В этом случае, как уже отмечалось выше, коэффициенты молекулярного переноса нельзя считать постоянными величинами. В работе при описании свойств газообразной среды (вязкости, теплопроводности) рассматривается степенной вид их

зависимости от температуры [11]:

$$\mu_g = \mu_{g\infty} \left( \frac{T_g}{T_{g\infty}} \right)^\beta, \\ \lambda_g = \lambda_{g\infty} \left( \frac{T_g}{T_{g\infty}} \right)^\alpha, \quad \lambda_p = \lambda_{p0} \left( \frac{T_g}{T_{g\infty}} \right)^\gamma,$$

где

$$\mu_{g\infty} = \mu_g(T_{g\infty}), \quad \lambda_{g\infty} = \lambda_g(T_{g\infty}), \quad \lambda_{p0} = \lambda_p(T_{g\infty}), \\ 0.5 \leq \alpha, \beta \leq 1, \quad -1 \leq \gamma \leq 1.$$

В частности, для воздуха  $\alpha = 0.81$ ,  $\beta = 0.72$ ; для азота  $\alpha = 0.77$ ,  $\beta = 0.69$  (диапазон температур от 300 до 900°K); для частицы меди до температуры плавления  $\gamma = -0.1$ , при этом  $T_{g\infty} = 273$ . Относительная погрешность приведенных формул (сравнение с экспериментальными данными) не превышает 5% [11].

Неоднородный нагрев частицы обусловлен поглощением электромагнитного излучения. Степень неоднородности зависит от оптических констант материала частицы и параметра дифракции [12]. Газ, взаимодействуя с неоднородно нагретой поверхностью, начинает двигаться вдоль поверхности в направлении возрастания температуры. Это явление называется тепловым скольжением газа. Тепловое скольжение вызывает появление фотофоретической силы и силы вязкого сопротивления среды. Когда величина фотофоретической силы становится равной по величине силе вязкого сопротивления среды, частица начинает двигаться равномерно. Скорость равномерного движения частицы называют фотофоретической скоростью ( $U_{ph}$ ).

Движение частицы происходит при малых числах Пекле и Рейнольдса, частица считается однородной по своему составу и крупной [13]. Относительно последнего отметим, что для классификации аэрозольных частиц по размерам применяют критерий Кнудсена  $Kn = \lambda/R$ , где  $\lambda$  — средняя длина свободного пробега молекул газовой смеси. Частицы называются крупными, если  $Kn \leq 0.01$ , умеренно крупными при  $0.01 \leq Kn \leq 0.3$  и мелкими при  $Kn \gg 1$ . Задача решается гидродинамическим методом, т.е. решаются уравнения гидродинамики с соответствующими граничными условиями.

Движение частицы удобно описывать в сферической системе координат  $r, \theta, \varphi$ , связанной с центром масс аэрозольной частицы. Ось  $OZ$  направлена в сторону распространения однородного потока излучения интенсивностью  $I_0$ . В этом случае объемная плотность внутренних источников тепла имеет стандартный вид [12]

$$q_p(\mathbf{r}) = 2\pi\chi k_0 I_0 B(\mathbf{r}), \quad (1)$$

где

$$B(r, \theta, \varphi) = \frac{1}{2\pi} \int_0^{2\pi} \frac{|E(r, \theta, \varphi)|^2}{E_0^2} d\varphi = B\left(r, \theta, \varphi = \frac{\pi}{4}\right)$$

— безразмерная функция источников электромагнитной энергии в случае неполяризованного падающего

излучения;  $E(r, \theta, \varphi)$  — локальная напряженность электрического поля внутри частицы;  $E_0$  — амплитуда напряженности поля в падающей волне;  $k_0 = 2\pi/\lambda_0$  — волновое число;  $\lambda_0$  — длина волны;  $m(\lambda_0) = n + i\chi$  — комплексный показатель преломления вещества частицы для данной волны излучения. Обычно для вычисления безразмерной функции источников  $B(\mathbf{r})$  пользуются решением задачи Ми для внутреннего поля (например, [4]). Поскольку система отсчета связана с центром движущейся аэрозольной частицы, то задача сводится к анализу обтекания частицы бесконечным плоскопараллельным потоком, скорость газа на бесконечности равна с обратным знаком скорости фотофореза, т.е.  $U_\infty = -U_{ph}$ .

В рамках сформулированных допущений уравнения гидродинамики, теплопроводности и граничные условия (представленные в сферической системе координат) имеют вид [15,16]

$$\frac{\partial}{\partial x_i} P_g = \frac{\partial}{\partial x_j} - \left\{ \mu_g \left[ \frac{\partial U_i^s}{\partial x_j} + \frac{\partial U_j^s}{\partial x_i} - \frac{2}{3} \delta_{ij} \frac{\partial U_k^s}{\partial x_k} \right] \right\}, \\ \frac{\partial}{\partial x_k} (\rho_g U_k^s) = 0, \quad (2)$$

$$\text{div}(\lambda_g \nabla T_g) = 0, \quad n_g = \frac{P_g}{kT_g}, \quad (3)$$

$$\text{div}(\lambda_p \nabla T_p) = -q_p. \quad (4)$$

где  $x_k$  — декартовы координаты,  $q_p$  — плотность тепловых источников, неоднородно распределенных в объеме частицы, за счет которых и происходит ее нагрев.  $\rho_g = n_g m_g$ ,  $\rho_g$ ,  $m_g$ ,  $n_g$  — плотность, масса и концентрация молекул газовой среды,  $k$  — постоянная Больцмана,

$$r = R, \quad T_g = T_p, \quad \lambda_g \frac{\partial T_g}{\partial r} = \lambda_p \frac{\partial T_p}{\partial r} + \sigma_0 \sigma_1 (T_p^4 - T_{g\infty}^4),$$

$$U_r^s = 0, \quad U_0^s = K_{IS} \frac{v_g}{RT_g} \frac{\partial T_g}{\partial \theta}, \quad (5)$$

$$r \rightarrow \infty, \quad U_r^s = U_\infty \cos \theta, \quad U_\theta^s = -U_\infty \sin \theta, \\ P_g = P_{g\infty}, \quad (6)$$

$$r \rightarrow 0, \quad T_p \neq \infty. \quad (7)$$

Здесь  $U_r^s$  и  $U_\theta^s$  — компоненты массовой скорости газа  $U_g$ ;  $K_{IS}$  — коэффициент теплового скольжения, выражение для которого находится методами кинетической теории газов. При коэффициентах аккомодации тангенциального импульса  $\alpha_\tau$  и энергии  $\alpha_E$ , равных единице, газокINETический коэффициент  $K_{IS} = 1.152$  (например, [17]);  $\sigma_0$  — постоянная Стефана–Больцмана,  $\sigma_1$  — интегральная степень черноты [18].

В граничных условиях (5) на поверхности аэрозольной частицы учтено: равенство температур, непрерывность потоков тепла, условие непроницаемости для нормальной и тепловое скольжение для касательной компонент массовой скорости. На большом расстоянии от

частицы ( $r \rightarrow \infty$ ) справедливы граничные условия (6), а конечность физических величин, характеризующих частицу при  $r \rightarrow 0$ , учтено в (7).

Обезразмерим уравнения (2)–(4) и граничные условия (5)–(7), введя безразмерные координату, скорость и температуру следующим образом:  $y_k = x_k/R$ ,  $t = T/T_{g\infty}$ ,  $\mathbf{V}_g = \mathbf{U}_g/U_\infty$ ,  $U_\infty = |\mathbf{U}_\infty|$ .

При малых числах Рейнольдса набегающий поток оказывает лишь возмущающее влияние и поэтому решение уравнений гидродинамики следует искать в виде

$$\mathbf{V}_g = \mathbf{V}_g^{(1)} + \varepsilon \mathbf{V}_g^{(2)} + \dots, \quad P_g = P_g^{(0)} + \varepsilon P_g^{(1)} + \dots$$

$$(\varepsilon = Re_\infty = (\rho_{g\infty} U_\infty R) / \mu_{g\infty} \ll 1). \quad (8)$$

Вид граничных условий указывает на то, что выражения для компонент массовой скорости  $V_r^g$  и  $V_\theta^g$  ищутся в виде разложений по полиномам Лежандра и Гегенбауэра [16]. Известно [16], что для определения результирующей силы, действующей на частицу, достаточно определить первые члены этих разложений.

## Поля температур вне и внутри частицы

При нахождении фотофоретической силы и скорости ограничимся поправками первого порядка малости. Чтобы их найти, нужно знать поля температур вне и внутри частицы. Для этого необходимо решить уравнения (3), (4). Решая эти уравнения методом разделения переменных, получаем следующие выражения для температур  $t_g$  и  $t_p$ :

$$t_g(y, \theta) = t_{g0}(y) + \varepsilon t_{g1}(y, \theta), \quad t_p(y, \theta) = t_{p0}(y) + \varepsilon t_{p1}(y, \theta), \quad (9)$$

где

$$t_{g0}(y) = \left(1 + \frac{\Gamma_0}{y}\right)^{1/(1+\alpha)},$$

$$t_{p0}(y) = \left(B_0 + \frac{H_0}{y} - \frac{1}{y} \int_1^y \psi_0 dy + \int_1^y \frac{\psi_0}{y} dy\right)^{1/(1+\gamma)},$$

$$t_{g1}(y, \theta) = \frac{\cos \theta}{t_{g0}^\alpha} \frac{\Gamma}{y^2},$$

$$t_{p1}(y, \theta) = \frac{\cos \theta}{t_{p0}^\gamma} \left[By + \frac{H_1}{y^2} + \frac{1}{3} \left(y \int_1^y \frac{\psi_1}{y^2} dy - \frac{1}{y^2} \int_1^y \psi_1 y dy\right)\right],$$

$$H_0 = \frac{R^2(1+\gamma)}{3\lambda_{p0}T_{g\infty}} J_0, \quad H_1 = \frac{R^2}{3\lambda_{p0}T_{g\infty}} J,$$

$$J_0 = \frac{1}{V} \int_V q_p dV, \quad J = \frac{1}{V} \int_V q_p z dV, \quad V = \frac{4}{3} \pi R^3,$$

где  $\int_V q_p z dV$  — дипольный момент плотности тепловых источников [1,4,6,7,9,12,14];

$$\psi_0 = -\frac{R^2(1+\gamma)}{2\lambda_{p0}T_{g\infty}} y^2 \int_{-1}^{+1} q_p(r, \theta) dx,$$

$$\psi_1 = -\frac{3R^2}{2\lambda_{p0}T_{g\infty}} y^2 \int_{-1}^{+1} q_p(r, \theta) x dx,$$

$$x = \cos \theta, \quad z = r \cos \theta,$$

где  $y = x/R$  — безразмерная радиальная координата.

Постоянные интегрирования, входящие в выражения для полей температур, определяются из граничных условий на поверхности частицы. В частности, для коэффициента  $\Gamma$  имеем

$$\frac{\Gamma}{t_{gS}^\alpha} = \frac{R}{\lambda_{pS}T_{g\infty}\delta} J. \quad (10)$$

Здесь  $\delta = 1 + 2 \frac{\lambda_{gS}}{\lambda_{pS}} + 4 \frac{\sigma_0 \sigma_1 R}{\lambda_{pS}} T_{g\infty}^3 t_{pS}^3$ ,  $\lambda_{pS} = \lambda_{p0} t_{pS}^\gamma$ ,  $\lambda_{gS} = \lambda_{g\infty} t_{gS}^\alpha$ ,  $t_{pS} = t_{p0}(y=1)$ ,  $t_{gS} = t_{g0}(y=1)$ .

Среднее значение температуры поверхности частицы  $T_{pS}$  определяется из решения следующей системы уравнений, в которой  $T_{pS} = t_{pS} T_{g\infty}$ ,  $T_{gS} = t_{gS} T_{g\infty}$ ,  $l^{(S)} = \Gamma_0 / (1 + \Gamma_0)$ :

$$\begin{cases} T_{pS} = T_{gS} \\ \frac{l^{(S)}}{1+\alpha} t_{gS} = \frac{R^2}{2\lambda_{gS}T_{g\infty}} J_0 - \\ - \sigma_0 \sigma_1 \frac{RT_{g\infty}^3}{\lambda_{gS}} \left[ \left(\frac{T_{pS}}{T_{g\infty}}\right)^4 - 1 \right]. \end{cases} \quad (11)$$

При выполнении неравенства  $\lambda_g \ll \lambda_p$  (имеет место для большинства газов), коэффициент теплопроводности частицы по величине много больше коэффициента теплопроводности газа, тогда в коэффициенте динамической вязкости можно пренебречь зависимостью по углу  $\theta$  в системе „частица–газ“ (предполагается слабая угловая асимметрия распределения температуры). С учетом этого можно считать, что вязкость связана только с температурой  $t_{g0}(r)$ , т.е.  $\mu_g(t_g(r, \theta)) \approx \mu_g(t_{g0}(r))$ . Это допущение позволяет рассматривать гидродинамическую часть отдельно от тепловой части, а связь между ними осуществляется через граничные условия.

Подставляя (9) в выражение для формулы зависимости коэффициента динамической вязкости от температуры, имеем

$$\mu_g(y, \theta) = \mu_{g\infty} t_{g0}^\beta(y). \quad (12)$$

Полученное выражение для динамической вязкости (12) в дальнейшем используется при нахождении полей скорости и давления в окрестности нагретой аэрозольной частицы сферической формы.

### Решение гидродинамической задачи. Нахождение выражений для полей скорости и давления

Исследование линеаризованного по скорости уравнения Навье–Стокса в сферической системе координат показало, что если предположить коэффициент теплопроводности частицы по величине много больше коэффициента теплопроводности газа (слабая угловая асимметрия распределения температуры), то это уравнение может быть в конечном итоге сведено к неоднородному дифференциальному уравнению 3-го порядка с изолированной особой точкой. Решение этого уравнения можно искать в виде обобщенных степенных рядов.

Исходя из граничных условий (5)–(7), выражения для компонент массовой скорости нулевого приближения (8) будем искать в виде

$$U_r^g(y, \theta) = U_\infty \cos \theta G(y),$$

$$U_\theta^g(y, \theta) = -U_\infty g(y) \sin \theta. \tag{13}$$

Здесь  $G(y)$  и  $g(y)$  — произвольные функции, зависящие от координаты  $y$ .

Из уравнения непрерывности (2) и уравнения состояния (3) находим связь между функциями  $G(y)$  и  $g(y)$ :

$$g(y) = \frac{1}{2} y \frac{dG(y)}{dy} + \left(1 + \frac{1}{2(1+\alpha)} l\right) G(y),$$

$$l = l(y) = \frac{\Gamma}{y + \Gamma_0}. \tag{14}$$

Подставляя в линеаризованное по скорости уравнение Навье–Стокса (2) выражения (13), (14), учитывая (12), разделяя переменные после преобразований, в конечном итоге получаем следующее неоднородное дифференциальное уравнение третьего порядка для определения функции  $G(y)$ :

$$y^4 \frac{d^3 G}{dy^3} + y^3(4 + \gamma_1 l) \frac{d^2 G}{dy^2} - y^2(4 + \gamma_2 l - \gamma_3 l^2) \frac{dG}{dy} - y(2 - l)\gamma_3 l^2 G = -\frac{6A_2}{t_{s0}^\beta}. \tag{15}$$

Здесь

$$\gamma_1 = \frac{1 - \beta}{1 + \alpha}, \quad \gamma_2 = 2 \frac{1 + \beta}{1 + \alpha}, \quad \gamma_3 = \frac{2 + 2\alpha - \beta}{(1 + \alpha)^2},$$

$$A_2 = \text{const}. \tag{16}$$

Найдем сначала решение однородного уравнения (15), т. е.

$$y^4 \frac{d^3 G}{dy^3} + y^3(4 + \gamma_1 l) \frac{d^2 G}{dy^2} - y^2(4 + \gamma_2 l - \gamma_3 l^2) \frac{dG}{dy} - y(2 - l)\gamma_3 l^2 G = 0. \tag{17}$$

Точка  $y = 0$  для уравнения (17) является регулярной особой точкой [19–21]. Это следует из уравнения (17), если в нем перейти к новой переменной  $l(y)$ . Поэтому будем искать его решение в виде обобщенного степенного ряда [19–21]

$$G(y) = y^\rho \sum_{n=0}^{\infty} C_n l^n, \quad C_0 \neq 0. \tag{18}$$

Подставляя ряд (18) в (17) и приравнявая коэффициенты при  $y^\rho$ , получаем определяющее уравнение  $\rho(\rho + 3)(\rho - 2) = 0$ , корни которого равны соответственно  $\rho_1 = -3, \rho_2 = 2, \rho_3 = 0$ . Заметим, что разность корней (по модулю) равна целому числу. Следовательно, согласно общей теории решения дифференциальных уравнений в виде обобщенных степенных рядов (метод Фробениуса), в остальных решениях, кроме первого решения (в нашем случае  $\rho_1 = -3$ ), появляется добавочное слагаемое с логарифмом, помноженным на первое решение [19–21]. Рекуррентные выражения для соответствующих коэффициентов определяются методом неопределенных коэффициентов.

Большему из корней (по модулю) отвечает решение

$$G_1(y) = \frac{1}{y^3} \sum_{n=0}^{\infty} C_{1,n} l^n. \tag{19}$$

Решение, отвечающее корню  $\rho_2 = 2$ , не приводим, так как оно не удовлетворяет краевым условиям (16) (конечности решения при  $y \rightarrow \infty$ ).

Третье решение уравнения (17), линейно независимое с решением  $G_1$  (пропорциональное корню  $\rho_3 = 0$ ), ищем в виде

$$G_3(y) = \sum_{n=0}^{\infty} C_{3,n} l^n + \omega_3 \ln(y) G_1(y). \tag{20}$$

Вид правой части неоднородного уравнения (15) указывает на то, что его частное решение следует искать в виде

$$\tilde{G}(y) = A_2 G_2(y),$$

$$G_2(y) = \frac{1}{y} \sum_{n=0}^{\infty} C_{2,n} l^n + \omega_2 \ln(y) G_1(y). \tag{21}$$

Значения коэффициентов  $C_{1,n} (n \geq 1)$ ,  $C_{2,n} (n \geq 3)$  и  $C_{3,n} (n \geq 4)$  находятся методом неопределенных коэффициентов и их можно определять с помощью соответствующих рекуррентных соотношений

$$C_{1,n} = \frac{1}{n(n+3)(n+5)} \left\{ [(n-1)(3n^2 + 13n + 8) + \gamma_1(n+2)(n+3) + \gamma_2(n+2)] C_{1,n-1} - [(n-1)(n-2)(3n+5) + 2\gamma_1(n^2-4) + \gamma_2(n-2) + \gamma_3(n+3)] C_{1,n-2} + (n-2)[(n-1)(n-3) + \gamma_1(n-3) + \gamma_3] C_{1,n-3} \right\},$$

$$C_{2,n} = \frac{1}{(n+1)(n+3)(n-2)} \times \left\{ [(n-1)(3n^2+n-6) + \gamma_1 n(n+1) + n\gamma_2] C_{2,n-1} - [\gamma_3(n+1) + (n-1)(n-2)(3n-1) + 2\gamma_1 n(n-2) + \gamma_2(n-2)] C_{2,n-2} + (n-2)[(n-1)(n-3) + \gamma_3 + \gamma_1(n-3)] C_{2,n-3} + \frac{\omega_2}{\Gamma_0^2} \sum_{k=0}^{n-2} (n-k-1) \Delta_k - 6 \frac{(-\gamma_4)(1-\gamma_4) \dots (n-1-\gamma_4)}{n!} \right\},$$

$$C_{3,n} = \frac{1}{n(n+2)(n-3)} \left\{ (n-1) \times [3n^2 - 5n - 4 + \gamma_1 n + \gamma_2] C_{3,n-1} - [(n-1)(n-2)(3n-4) + 2\gamma_1(n-1)(n-2) + \gamma_2(n-2) + n\gamma_3] C_{3,n-2} + (n-2)[(n-1)(n-3) + \gamma_1(n-3) + \gamma_3] C_{3,n-3} + \frac{\omega_3}{2\Gamma_0^3} \sum_{k=0}^{n-3} (n-k-2)(n-k-1) \Delta_k \right\},$$

$$\Delta_k = (3k^2 + 16k + 15)C_{1,k} - ((k-1)(6k+13) + \gamma_1(2k+5) + \gamma_2)C_{1,k-1} + (3(k-1)(k-2) + 2\gamma_1(k-2) + \gamma_3)C_{1,k-2}.$$

При вычислении коэффициентов  $C_{1,n}$ ,  $C_{2,n}$  и  $C_{3,n}$  по рекуррентным формулам необходимо учитывать, что  $C_{1,0} = 1$ ,  $C_{2,0} = 1$ ,  $C_{3,1} = 0$ ,  $C_{2,2} = 1$ ,  $C_{2,1} = -\frac{1}{8}(2\gamma_1 + \gamma_2 + 6\gamma_4)$ ,

$$\gamma_4 = \frac{\beta}{1+\alpha}, \quad \frac{\omega_3}{2\Gamma_0^3} = -\frac{\gamma_3}{60}(10 + 3\gamma_1 + \gamma_2),$$

$$C_{3,1} = 0, \quad C_{3,2} = \frac{1}{4\gamma_3}, \quad C_{3,3} = 1, \quad C_{3,0} = 1,$$

$$\frac{\omega_2}{\Gamma_0^2} = \frac{1}{15} \left[ \frac{1}{4}(2\gamma_1 + \gamma_2 + 6\gamma_4)(4 - 3\gamma_1 + \gamma_2) + 3\gamma_3 + 3\gamma_4(\gamma_4 - 1) \right],$$

$C_{1,n}$ ,  $C_{2,n}$  и  $C_{3,n}$  при  $n < 0$  равны нулю.

Таким образом, общее решение уравнения (15), удовлетворяющее крайним условиям (6), имеет вид

$$G(y) = A_1 G_1(y) + A_2 G_2(y) + G_3(y), \quad (22)$$

и выражения для компонент массовой скорости и давления равны

$$\begin{aligned} U_r^g &= U_\infty \cos \theta (A_1 G_1 + A_2 G_2 + G_3), \\ U_\theta^g &= -U_\infty \sin \theta (A_1 G_4 + A_2 G_5 + G_6), \\ P_g &= P_{g\infty} + \frac{\mu_{g\infty} U_\infty}{R} f_{g0}^\beta \left\{ \frac{y^2}{2} \frac{d^3 G}{y^3} + y \left[ 3 + \frac{\beta-1}{2} y f \right] \frac{d^2 G}{dy^2} - \left[ 2 - y^2 f^I - \frac{\beta}{2} y^2 f^2 + (\beta-2) y f \right] \frac{dG}{dy} + 2 \left[ y^2 f^{II} + y f^I (4 + y \beta f) - \frac{2}{3} f \right] G \right\}. \end{aligned} \quad (23)$$

Здесь

$$f = -\frac{l}{y(1+\alpha)},$$

$$G_k = \left( 1 + \frac{l}{2(1+\alpha)} \right) C_{k-3} + \frac{1}{2} y G_{k-3}^I \quad (k = 4, 5, 6).$$

$f^I, f^{II}, G_1^I, G_2^I, G_3^I$  — первые и вторые производные по  $y$  от соответствующих функций.

Постоянные интегрирования  $A_1$  и  $A_2$  определяются из граничных условий на поверхности аэрозольной частицы (5).

## Определение фотофоретической силы и скорости. Анализ полученных результатов

Таким образом, в первом приближении по  $\varepsilon$  нами получены выражения для полей температур вне и внутри аэрозольной частицы, а также распределения скорости и давления в ее окрестности. Результирующая сила, действующая на частицу, определяется интегрированием тензора напряжений по поверхности аэрозольной частицы и имеет вид [15,16]

$$F_z = \int_{(S)} (-P_g \cos \theta + \sigma_{rr} \cos \theta + \sigma_{r\theta} \sin \theta) r^2 \sin \theta d\theta d\varphi \Big|_{r=R}. \quad (24)$$

Здесь  $\sigma_{rr}, \sigma_{r\theta}$  — компоненты тензора напряжений:

$$\sigma_{rr} = \mu_g \left( 2 \frac{\partial U_r^g}{\partial y} - \frac{2}{3} \operatorname{div} U_g \right),$$

$$\sigma_{r\theta} = \mu_g \left( \frac{\partial U_\theta^g}{\partial y} + \frac{1}{y} \frac{\partial U_r^g}{\partial \theta} - \frac{U_\theta^g}{y} \right).$$

С учетом приведенных выше выражений получаем

$$\mathbf{F} = \mathbf{F}_\mu + \varepsilon \mathbf{F}_{ph}, \quad (25)$$

где

$$\mathbf{F}_\mu = 6\pi R \mu_{g\infty} U_\infty f_\mu \mathbf{n}_z,$$

$$\mathbf{F}_{ph} = -6\pi R \mu_{g\infty} f_{ph} \mathbf{Jn}_z,$$

$\mathbf{n}_z$  — единичный вектор в направлении оси  $OZ$ .

Значения коэффициентов  $f_\mu$  и  $f_{ph}$  могут быть оценены с помощью формулы (26)

$$f_\mu = \frac{2N_2}{3N_1}, \quad f_{ph} = \frac{4}{3} K_{TS} \frac{v_{gS}}{\lambda_{pS} \delta T_{g\infty} t_{gS}} \frac{G_1}{N_1}, \quad (26)$$

где

$$N_1(y) = G_1(y)G_2^1(y) - G_2(y)G_1^1(y),$$

$$N_2(y) = G_1(y)G_3^1(y) - G_3(y)G_1^1(y)G_2^1G_3^1$$

— первые производные по  $y$  от соответствующих функций.

Приравнивая результирующую силу  $\mathbf{F}$  к нулю, получаем следующее выражение для скорости фотофореза  $\mathbf{U}_{ph}$  ( $\mathbf{U}_{ph} = -\mathbf{U}_\infty$ ) твердой крупной нагретой частицы сферической формы:

$$\mathbf{U}_{ph} = -h_{ph} \mathbf{Jn}_z, \quad (27)$$

где  $h_{ph} = f_{ph}/f_\mu$ .

При оценке коэффициент  $f_\mu$ ,  $f_{ph}$  и  $h_{ph}$  необходимо учитывать, что индексом „s“ обозначены значения физических величин, взятые при средней относительной температуре поверхности частицы  $T_{pS}$ , которая определяется по формуле (11): функции  $G_1(y)$ ,  $G_1^1(y)$ ,  $G_2(y)$ ,  $G_2^1(y)$ ,  $G_3(y)$ ,  $G_3^1(y)$ ,  $N_1(y)$  и  $N_2(y)$  берутся при  $y = 1$ .

Полученные выше формулы можно использовать и при малых относительных перепадах температуры в окрестности частицы. В случае, когда величина нагрева поверхности частицы мала, т.е. средняя температура поверхности по величине незначительно отличается от температуры окружающей среды вдали от частицы ( $\Gamma_0 \rightarrow 0$ ), зависимостью коэффициентов молекулярного переноса (вязкости и теплопроводности) от температуры можно пренебречь, и тогда ( $y = 1$ ) имеем  $G_1 = 1$ ,  $G_1^1 = -3$ ,  $G_2 = 1$ ,  $G_2^1 = -1$ ,  $G_3 = 1$ ,  $G_3^1 = 0$ ,  $N_1 = 2$  и  $N_2 = 3$ . В этом случае формулы для силы и скорости фотофореза совпадают с результатами работы [4].

Формулы (25)–(27) позволяют при известном распределении по объему плотности тепловых источников учесть влияние нагрева поверхности частицы на величину фотофоретической силы и скорости при произвольных относительных перепадах температуры между поверхностью частицы и областью вдали от нее с учетом степенного вида зависимости вязкости и теплопроводности газообразной среды от температуры. Полученные формулы носят наиболее общий характер.

Представляют интерес численные оценки влияния нагрева поверхности аэрозольной частицы на фотофорез. На рис. 1, 2 приведены кривые, связывающие значения

$$\phi = \frac{f_{ph}}{f_{ph}|_{T_{pS}=273\text{ K}}}, \quad \psi = \frac{h_{ph}}{h_{ph}|_{T_{pS}=273\text{ K}}}$$

$$(f_{ph}|_{T_{pS}=273\text{ K}} = 9.34 \cdot 10^{-11}, \quad h_{ph}|_{T_{pS}=273\text{ K}} = 9.34 \cdot 10^{-11})$$

со значениями  $T_{pS}$  для крупных частиц меди радиусом  $R = 25 \mu\text{m}$ , движущихся в воздухе при нормальных условиях.

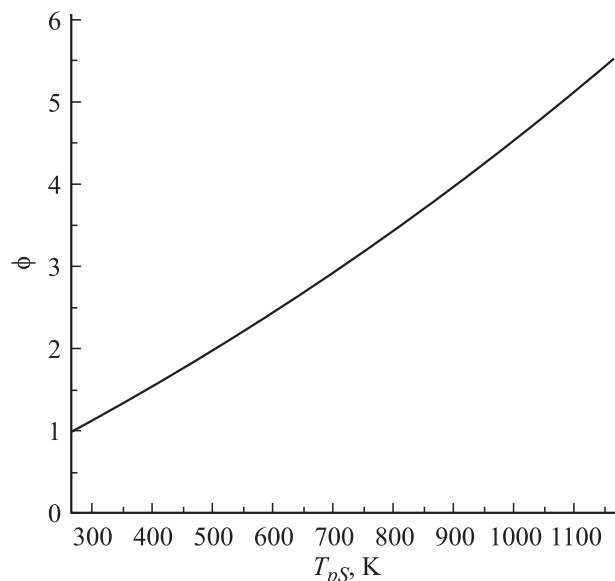


Рис. 1. Кривая зависимости функции  $\phi$  от средней температуры поверхности частицы  $T_{pS}$ .

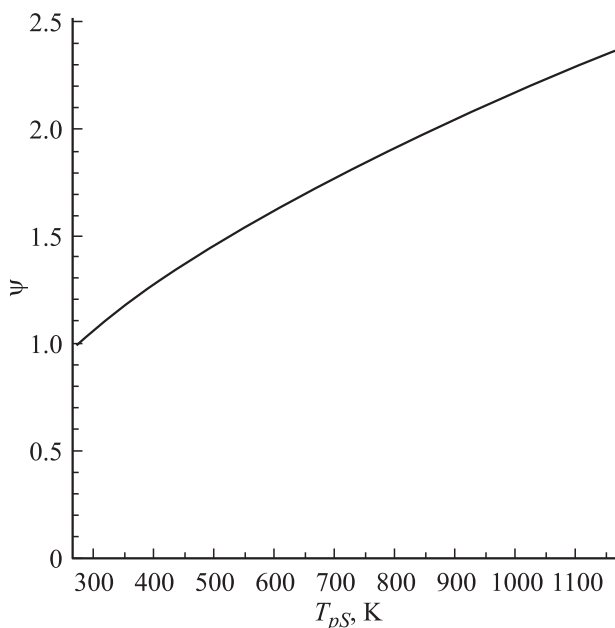


Рис. 2. Кривая зависимости функции  $\psi$  от средней температуры поверхности частицы  $T_{pS}$ .

Из формул (25)–(27) видно, что величина и направление силы и скорости фотофореза определяются величиной и направлением дипольного момента плотности тепловых источников  $\int_V q_p z dV \mathbf{n}_z$ . В тех случаях, когда дипольный момент отрицательный (когда большая часть тепловой энергии выделяется в той части частицы, которая обращена к источнику излучения), частица движется в направлении падающего излучения. Если дипольный момент положительный (большая часть тепловой энергии выделяется в теневой части частицы), частица

будет двигаться навстречу направлению распространения излучения. Для вычисления интеграла необходимо знать величину  $q_p$ , которая определяется из решения электродинамической задачи [1,6,14]. В настоящее время разработаны численные методы, позволяющие найти величину дипольного момента плотности тепловых источников, например, в работе [22] приводится листинг программы.

В качестве примера рассмотрим наиболее простой случай, когда частица поглощает излучение как черное тело. В этом случае поглощение происходит в тонком

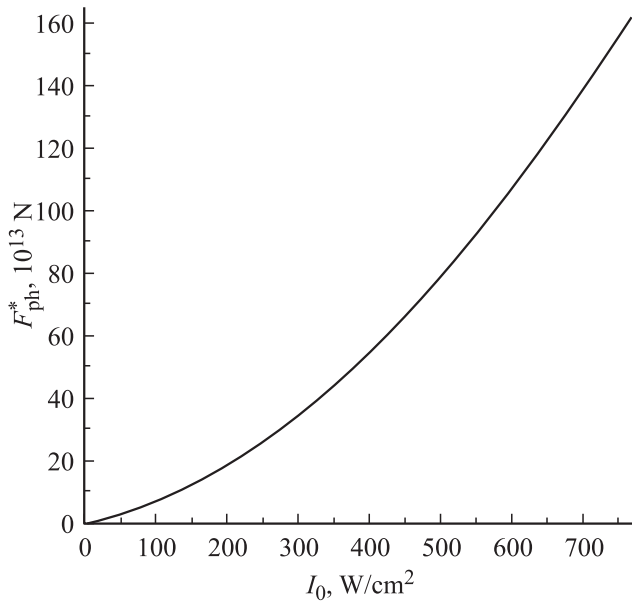


Рис. 3. Кривая зависимости фотофоретической силы  $F_{ph}^*$  от интенсивности падающего излучения  $I_0$ .

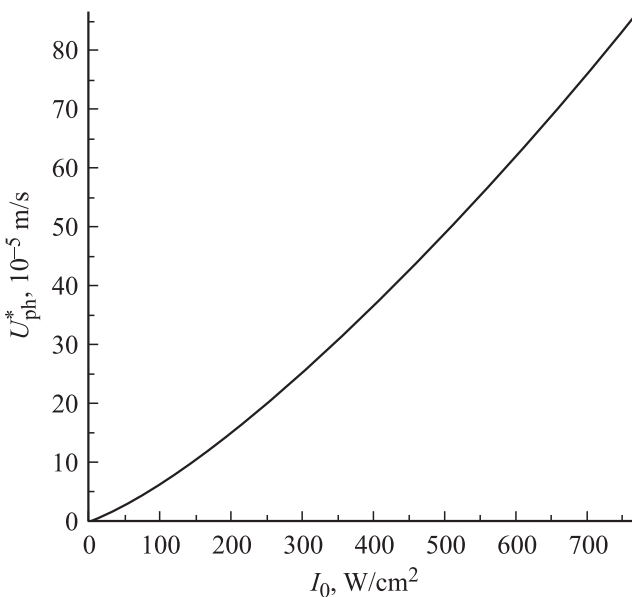


Рис. 4. Кривая зависимости фотофоретической скорости  $U_{ph}^*$  от интенсивности падающего излучения  $I_0$ .

слое толщиной  $\delta R \ll R$ , прилегающем к нагреваемой части поверхности частицы. При этом плотность тепловых источников внутри слоя толщиной  $\delta R$  определяется с помощью формулы [14]

$$q_p = \begin{cases} -\frac{I_0}{\delta R} \cos \theta, & \frac{\pi}{2} \leq \theta < \pi, \quad R - \delta R \leq r \leq R, \\ 0, & 0 \leq \theta \leq \frac{\pi}{2}, \end{cases} \quad (28)$$

где  $I_0$  — интенсивность падающего излучения.

В этом случае интегралы легко считаются

$$\int_V q_p dV = \pi R^2 I_0, \quad \int_V q_p z dV = -\frac{2}{3} \pi R^3 I_0,$$

и получаем следующие выражения для фотофоретической силы и скорости абсолютно черных крупных частиц сферической формы:

$$\mathbf{F}_{ph}^* = 3\pi R \mu_{g\infty} f_{ph} I_0 \mathbf{n}_z, \\ \mathbf{U}_{ph}^* = \frac{\hbar_{ph}}{2} I_0 \mathbf{n}_z \left( \hbar_{ph} = \frac{f_{ph}}{f_\mu} \right). \quad (29)$$

Средняя температура поверхности частицы  $T_{pS}$  связана с интенсивностью падающего излучения формулой (30)

$$\begin{cases} T_{pS} = T_{gS}, \\ \frac{l^{(S)}}{1 + \alpha} \frac{\lambda_{gS}}{\lambda_{pS}} T_{pS} t_{gS} = \frac{R}{4\lambda_{pS}} I_0 - \\ - \sigma_0 \sigma_1 \frac{RT_{g\infty}^4}{\lambda_{pS}} \left[ \left( \frac{T_{pS}}{T_{g\infty}} \right)^4 - 1 \right]. \end{cases} \quad (30)$$

На рис. 3, 4 приведены кривые, связывающие значения  $\phi^* = F_{ph}^*$ ,  $\psi^* = U_{ph}^*$  со значениями  $I_0$  для крупных частиц меди радиусом  $R = 25 \mu\text{m}$ , движущихся в воздухе при нормальных условиях.

## Заключение

Из приведенных графиков видно, что сила и скорость фотофореза нелинейно возрастают с увеличением интенсивности излучения, что обусловлено зависимостью коэффициентов молекулярного переноса и плотности от температуры. В случае малых перепадов наблюдается линейный характер зависимости, что совпадает с известными результатами [2,4,6,12].

Работа выполнена в рамках Федеральной целевой программы научно-образовательного центра „Управляемые электромагнитные процессы в конденсированных средах“ (Госконтракт № 02.740.11.0545) и ГК 16.518.11.7058.

## Список литературы

- [1] Волковицкий О.А., Седунов Ю.С., Семенов Л.П. Распространение интенсивного лазерного излучения в облаках. Л.: Гидрометеиздат, 1982. 300 с.
- [2] Вальдберг А.Ю., Исянов П.М., Яламов Ю.И. Теоретические основы охраны атмосферного воздуха от загрязнения промышленными аэрозолями. СПб.: Нииогаз-фильтр, 1993. 235 с.
- [3] Кабанов М.В. Лазерное зондирование промышленных аэрозолей. Новосибирск: Наука, 1986. 185 с.
- [4] Кутуков В.Б., Яламов Ю.И. Нелинейные эффекты при распространении лазерного излучения в атмосфере. Томск, 1977. С. 145–147.
- [5] Pueshel R.L., Verma S., Rohatschek M., Ferry G.V., Boiadjeva N., Hovard S.D., Strawa A.W. // J. Geophys. Res. D. 2000. Vol. 105. N 3. P. 3727–3736.
- [6] Береснев С.А., Ковалев Ф.Д., Кочнева Л.Б., Рунков В.А., Суетин П.Е., Черемисин А.А. // Оптика атмосферы и океана. 2003. Т. 16. № 1. С. 52–57.
- [7] Chyi-Yeou Soong, Wen-Ken Li, Chung-Ho, Pei-Yuan Tzeng. // Opt. Lett. 2010. Vol. 35. N 5. P. 625–627.
- [8] Kassoy D.R., Adomcon T.C., Messiter A.F. // J. Phys. Fluid. 1996. Vol. 9. N 4. P. 671–681.
- [9] Малай Н.В., Щужин Е.Р. // ИФЖ. 1988. Т. 54. № 4. С. 628–634.
- [10] Малай Н.В., Щужин Е.Р., Стукалов А.А., Рязанов К.С. // ПМТФ. 2008. № 1. С. 74–80.
- [11] Бретшнайдер Ст. Свойства газов и жидкостей. Инженерные методы расчета. М.: Химия, 1966. 535 с.
- [12] Береснев С.А., Кочнева Л.Б. // Физика атмосферы и океана. 2003. Т. 16. № 2. С. 134–141.
- [13] Яламов Ю.И., Галоян В.С. Динамика капель в неоднородных вязких средах. Ереван: Луйс, 1985. 207 с.
- [14] Борен К.Ф., Хафмен Д.Р. Поглощение и рассеяние света малыми частицами. М.: Мир, 1986. 660 с.
- [15] Хаппель Дж., Бреннер Г. Гидродинамика при малых числах Рейнольдса. М.: Мир, 1976. 630 с.
- [16] Ландау Л.Д., Лифшиц Е.М. Теоретическая физика. Т. 6. Гидродинамика. М.: Наука, 1986. 736 с.
- [17] Поддоскин А.Б., Юшканов А.А., Яламов Ю.И. // ЖТФ. 1982. Т. 52. Вып. 11. С. 2253–2262.
- [18] Шейндлин А.Е. Излучательные свойства твердых материалов. Справочник. М.: Энергия, 1974. 471 с.
- [19] Коддингстон Э.А., Левинсон Н. Теория обыкновенных дифференциальных уравнений. М.: Иностран. лит-ра, 1958. 474 с.
- [20] Смирнов В.И. Курс высшей математики. Т. III. Ч. II. М.: Наука, 672 с.
- [21] Камке Э. Справочник по обыкновенным дифференциальным уравнениям. М.: Физматлит. 1961. 703 с.
- [22] Рязанов К.С., Попов И.В., Малай Н.В. Вычисление распределения поглощаемой электромагнитной энергии внутри частиц сферической формы // Свид. о госуд. регистрации программы для ЭВМ № 2010616043.14.09.2010.